

# 直径为 2 与 3 的符号图的上可嵌入

唐楚彪, 吕胜祥\*

(湖南科技大学 数学与计算科学学院, 湖南 湘潭 411201)

**摘要:** 设  $\Sigma = (G, \sigma)$  是直径为 2 和 3 连通的简单符号图,  $G$  是  $\Sigma$  的基础图. 若  $\Sigma$  扭转等价  $\Delta_2$ -图或  $\Delta_3$ -图, 则  $\Sigma$  的 Betti 亏数  $\xi(\Sigma) = 2$ , 否则  $\Sigma$  是上可嵌入的, 即  $\xi(\Sigma) \leq 1$ .

**关键词:** 符号图; 上可嵌入; Betti 亏数

**中图分类号:** O157.5      **文献标志码:** A      **文章编号:** 1672-9102(2018)01-0109-05

## The Upper Embeddable of Signed Graphs with Diameter two and three

Tang Chubiao, Lyu Shengxiang

(School of Mathematics and Computational Science, Hunan University of Science and Technology, Xiangtan 411201, China)

**Abstract:** Let  $\Sigma = (G, \sigma)$  be a simple signed graph with diameter two and three,  $G$  is the underlying graph of  $\Sigma$ . If  $\Sigma$  is switched to be equivalent of  $\Delta_2$ -graph or  $\Delta_3$ -graph, then betti deficiency number  $\xi(\Sigma) = 2$ , otherwise  $\Sigma$  is upper-embeddable, i.e.,  $\xi(\Sigma) \leq 1$ .

**Keywords:** signed graph; up-embeddable; betti deficiency number

### 1 图的基本概念

本文所研究的图  $G = (V(G), E(G))$  都是有限、无环、无重边的连通图. 图  $G$  中连结顶点  $u$  和  $v$  之间最短路的长度, 称为顶点  $u$  和  $v$  之间的距离  $d_G(u, v)$ . 图  $G$  所有顶点间距离的最大值称为图  $G$  的直径, 记作  $d(G)$ . 令  $\beta(G) = |E(G)| - |V(G)| + 1$  为  $G$  的圈秩数(或 Betti 数).

令  $S$  为可定向的闭曲面. 图  $G$  在曲面  $S$  上的 2-胞腔嵌入是指  $G$  能画在曲面  $S$  上使得边与边之间除顶点外不再相交, 且在曲面  $S$  上去掉  $G$  的顶点与边之后的每个连通分支都同胚于开圆盘. 图  $G$  的最大亏格  $\gamma_M(G)$ , 等于这样的最大的整数  $k$ , 使得  $G$  可 2-胞腔嵌入到亏格为  $k$  的可定向曲面  $S$  上.

图  $G$  的任意 2-胞腔嵌入至少含有一个面, 根据 Euler 公式, 可得  $\gamma_M(G) \leq \lfloor \beta(G)/2 \rfloor$  (其中,  $\lfloor x \rfloor$  表示不超过  $x$  的最大整数). 特别的, 当  $\gamma_M(G) = \lfloor \beta(G)/2 \rfloor$ , 我们称图  $G$  是上可嵌入的.

令  $A \subseteq E(G)$ , 我们用  $G \setminus A$  表示从  $G$  中去掉边集  $A$  所得到的图,  $c(G \setminus A)$  表示  $G \setminus A$  的所有连通分支的个数,  $b(G \setminus A)$  表示  $G \setminus A$  的 Betti 数为奇数的连通分支的个数. 令  $T$  为图  $G$  的一棵生成树, 用  $\xi(G, T)$  表示  $G \setminus E(T)$  的边数为奇数的连通分支的个数. 对图  $G$  的所有生成树  $T$ , 我们称  $\xi(G) = \min_T \xi(G, T)$  为图  $G$  的 Betti 亏数. 显然,  $\xi(G) \equiv \beta(G) \pmod{2}$ .

Xuong<sup>[1]</sup>得到了下面的刻画图的最大亏格的重要定理.

收稿日期: 2015-06-06

基金项目: 国家自然科学基金资助项目(11301171); 数学天元基金资助项目(11226284); 湖南省自然科学基金资助项目(13JJ4079; 14JJ7047)

\* 通信作者, E-mail: lvsxx23@126.com

定理1(Xuong<sup>[1]</sup>)设图 $G$ 是1个连通图,则

- 1)  $\gamma_M(G) = (\beta(G) - \xi(G))/2$ ;
- 2) 图 $G$ 是上可嵌入的当且仅当 $\xi(G) \leq 1$ .

Nebesky<sup>[2]</sup>从另一个方面给出了图的最大亏格的计算公式.

定理2(Nebesky[2])设图 $G$ 是1个连通图,则

- 1) 图 $G$ 是上可嵌入的,当且仅当 $c(G \setminus A) + b(G \setminus A) - 2 \leq |A|$ ,其中 $A$ 为 $E(G)$ 的任意子集;
- 2)  $\xi(G) = \max\{c(G \setminus A) + b(G \setminus A) - |A| - 1\}$ .

式中: $A$ 为 $E(G)$ 的任意子集.

设 $F_1, F_2, \dots, F_k$ 为图 $G$ 的 $k(k \geq 2)$ 个不同的子图, $E_c(F_1, F_2, \dots, F_k)$ 表示边集 $E(G)$ 中一个端点在 $V(F_i)$ 中,而另一个端点在 $V(F_j)(1 \leq i, j \leq k, i \neq j)$ 中的边的集合, $E(F_i, G)$ 表示边集 $E(G)$ 中一个端点在 $V(F_i)$ 中,而另一个端点不在 $V(F_i)$ 中的边的集合( $1 \leq i \leq k$ ).在定理1和定理2的基础上,黄元秋教授<sup>[6]</sup>得到了下面的结论.

定理3<sup>[6]</sup> 对于图 $G$ ,如果 $\xi(G) \geq 2$ ,即 $G$ 不是上可嵌入的,则必存在边子集 $A \subseteq E(G)$ 满足下列性质:

- 1)  $c(G \setminus A) = b(G \setminus A) \geq 2$ ;
- 2)  $G \setminus A$ 的任一连通分支 $F$ 都是图 $G$ 的顶点导出子图;
- 3) 对于 $G \setminus A$ 任意 $k$ 个不同的连通分支 $F_1, F_2, \dots, F_k$ 有 $|E_c(F_1, F_2, \dots, F_k)| \leq 2k - 3$ ,特别地,对于 $G \setminus A$ 任意2个不同的连通分支 $F$ 和 $H$ 有 $|E_c(F, H)| \leq 1$ ;
- 4)  $\xi(G) = 2c(G \setminus A) - |A| - 1$ .

图的最大亏格是图的一个重要参数,是拓扑图论的重要研究问题.关于图的直径与最大亏格下界的关系,也得到了很多图论学者的重视.

定理4<sup>[7]</sup> 每个直径为2的无环连通图都是上可嵌入的.

文献[6]讨论了直径为3的图.

定理5<sup>[6]</sup> 如果图 $G$ 是直径为3的连通图,那么图 $G$ 是上可嵌入的,除非图 $G$ 是 $\Delta_2$ -图和 $\Delta_3$ -图并且 $\xi(G) = 2$ .

## 2 符号图的概念与定理

符号图<sup>[8]</sup> $\Sigma = (G, \sigma)$ 是指图 $G$ 与映射 $\delta: E(G) \rightarrow \{+, -\}$ 使得图 $G$ 的每条边都被赋予符号+或-.符号图 $\Sigma = (G, \sigma)$ 中的迹 $w = v_0 e_1 \cdots e_k v_k$ 的符号等于其中所有边的符号的乘积,即 $\sigma(w) = \sigma(e_1 e_2 \cdots e_k) = \sigma(e_1) \sigma(e_2) \cdots \sigma(e_k)$ .若圈 $C$ 上的符号为正,则称圈 $C$ 是平衡圈;当符号图 $\Sigma = (G, \sigma)$ 只有平衡圈时,则称 $\Sigma = (G, \sigma)$ 是平衡的.

连通图 $G$ 的2-胞腔嵌入是由其增广嵌入系 $(P, \lambda)$ 确定的,其中 $P$ 是 $G$ 的旋系, $\lambda$ 是每条边上的标号<sup>[9]</sup>.于是,2-胞腔嵌入自然地可以认为是符号图的嵌入.图 $\Sigma$ 的圈 $C$ 嵌入到曲面上是定向保持的当且仅当 $C$ 是平衡的,即圈 $C$ 上的边的标号的乘积等于+.如果2个符号图的基础图相同,且平衡圈集也相同,则称这两个符号图是等价的.

在符号图 $\Sigma = (G, \sigma)$ 中,设 $X \subseteq V(G)$ ,那么 $V \setminus X$ 表示从 $G$ 中删除 $X$ 中的顶点以及与这些顶点相关联的边所得到的子图; $[X, V \setminus X]$ 表示一个端点在 $X$ 中,另一个端点在 $V \setminus X$ 中的边的集合.在符号图 $\Sigma = (G, \sigma)$ 与 $\Sigma' = (G, \sigma')$ 中,如果存在顶点集 $X \subseteq V(G)$ ,使得当 $e \in [X, V \setminus X]$ 时, $\sigma(e) = -\sigma'(e)$ ,当 $e \notin [X, V \setminus X]$ 时, $\sigma(e) = \sigma'(e)$ ,则称 $\Sigma = (G, \sigma)$ 与 $\Sigma' = (G, \sigma')$ 是扭转等价的,记作 $\Sigma = (G, \sigma) \sim \Sigma' = (G, \sigma')$ .若 $\Sigma = (G, \sigma) \sim \Sigma' = (G, \sigma')$ ,也称 $\Sigma = (G, \sigma')$ 是 $\Sigma = (G, \sigma)$ 在顶点集 $X$ 上的扭转.扭转等价不改变平衡圈集,因此这两个符号图是等价的.于是,若 $\Sigma = (G, \sigma)$ 是连通的符号图, $T$ 是其对应的生成树,则通过扭转点集 $X$ ,使得 $T$ 上的边全是正的,且其余的边上的符号是唯一确定的.

符号图 $\Sigma = (G, \sigma)$ 的准亏格 $d(G, \sigma)$ 是指最小的整数 $k$ ,使得 $(G, \sigma)$ 可定向嵌入到Euler亏格为 $k$

的曲面.  $(G, \sigma)$  在曲面  $S$  上满足  $d(G, \sigma) = d(S)$  的定向嵌入称为最小定向嵌入. 图  $G$  的所有符号图的准亏格的最大值记作  $D(G)^{[10]}$ .

设  $T$  是连通符号图  $\Sigma = (G, \sigma)$  的生成树,  $T$  是  $\Sigma = (G, \sigma)$  的生成树且  $T$  上的边全是正的,  $C = \Sigma \setminus E(T)$ ,  $D$  是  $C$  的一个连通分支且满足:

- 1)  $D$  中边的数目为奇数;
- 2)  $D$  中的负边都是桥;
- 3) 去掉  $D$  中任意一条负边,  $D$  正好有两个含有奇数条边的连通分支.

则称  $D$  为  $\Sigma \setminus E(T)$  的奇分支, 并记  $C = \Sigma \setminus E(T)$  中连通奇分支的个数为  $\xi(\Sigma, T)$ . 文献 [10] 给出了  $\xi(\Sigma)$  的组合表达式:

定理 6<sup>[10]</sup> 设  $\Sigma = (G, \sigma)$  是连通的符号图,  $\xi(\Sigma)$  为 Betti 亏数, 那么

$$\xi(\Sigma) = \min \{ \xi(\Sigma, T); T \text{ 是 } G \text{ 的生成树} \}.$$

符号图  $\Sigma = (G, \sigma)$  中最大的 2-边连通子图称为  $\Sigma = (G, \sigma)$  的叶子. 若  $L$  平衡且  $\beta(L)$  为奇, 则符号图  $H$  的叶子或  $L$  分支称为本质的,  $H$  的本质叶子的数目记作  $el(H)$ .

定理 7<sup>[10]</sup> 如果  $\Sigma = (G, \sigma)$  是连通的符号图, 那么

$$\xi(\Sigma) = \max \{ el(\Sigma \setminus A) - |A|; A \text{ 是 } E(\Sigma) \text{ 的子集} \}.$$

令  $A \subseteq E(\Sigma)$ ,  $c(G \setminus A)$  表示图  $\Sigma \setminus A$  中连通分支数;  $ec(\Sigma \setminus A)$  表示图  $\Sigma \setminus A$  中连通本质分支数.

定理 8<sup>[10]</sup> 设  $\Sigma = (G, \sigma)$  为符号图, 则  $\xi(\Sigma) = \max \{ c(\Sigma \setminus A) + ec(\Sigma \setminus A) - |A| - 1 \}$ , 其中,  $A$  为  $E(\Sigma)$  的子集.

本文中有关图的最大亏格的术语均可参考 [1].

设简单的符号图  $F_1$  和  $F_2$  的 Betti 数均为奇, 且存在  $u_i \in V(F_i); i = 1, 2$  使得对任意  $x_i \in V(F_i)$  且  $x_i \neq u_i, x_i$  与  $u_i$  相邻. 那么  $\Delta_2$ -符号图由连接  $u_1$  和  $u_2$  获得 (见图 1). 即  $V(\Delta_2) = V(F_1) \cup V(F_2), E(\Delta_2) = E(F_1) \cup E(F_2) \cup \{u_1 u_2\}$ .

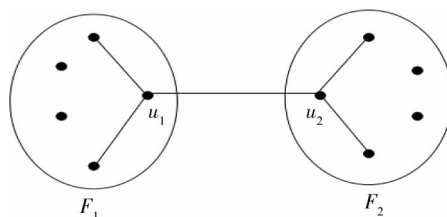


图 1  $\Delta_2$ -符号图

设  $\Sigma_1, \Sigma_2$  和  $\Sigma_3$  是 3 个简单的符号图, 各自的 Betti 数为奇, 并存在  $u_i, v_i \in V(\Sigma_i); i = 1, 2, 3$  (可能  $u_i$  等于  $v_i$ ) 使得对任意  $x_i \in V(\Sigma_i)$  且  $x_i \neq u_i, v_i, x_i$  与  $u_i$  和  $v_i$  相邻. 那么  $\Delta_3$ -符号图由连接  $u_1$  和  $u_2, v_1$  和  $u_3, v_2$  和  $v_3$  获得 (见图 2). 即  $V(\Delta_3) = \bigcup_{i=1}^3 V(\Sigma_i), E(\Delta_3) = \bigcup_{i=1}^3 E(\Sigma_i) \cup \{u_1 u_2, v_1 u_3, v_2 v_3\}$ .

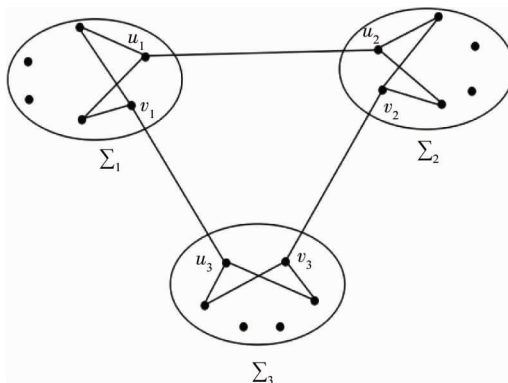


图 2  $\Delta_3$ -符号图

若  $\Delta_2$ -符号图 (或  $\Delta_3$ -符号图) 经过扭转后, 所有边都为正边, 则称其为  $\Delta_2$ -图 (或  $\Delta_3$ -图).

设  $\Sigma = (G, \sigma)$  是符号图,  $\beta(\Sigma) = 1 \pmod{2}$ , 若存在  $u, v \in V(\Sigma)$  (可能  $u = v$ ), 使得对任意  $x_i \in V(\Sigma)$  且  $x_i \neq u, v, x_i$  与  $u$  和  $v$  相连, 即  $\Sigma = S \vee K_2^C$  (或  $\Sigma = S \vee u$ ), 则通过扭转, 则存在  $\Sigma$  中的生成树  $T$  ( $T$  的边

全为正),使得去掉 $\Sigma \setminus E(T)$ 中的负边后只存在唯一的分支.

引理1 令 $\Sigma = S \vee K_2^c$ (或 $\Sigma = S \vee u$ )为符号图, $\beta(\Sigma) = 1(\text{mod}2)$ ,则 $\xi(\Sigma) \leq 1$ .

证  $\Sigma = S \vee K_2^c$ (或 $\Sigma = S \vee u$ ),那么通过扭转, $\Sigma$ 中存在生成树 $T$ (树 $T$ 的边全为正),使得只有 $\Sigma \setminus E(T)$ 中存在负边.

1)若 $\Sigma \setminus E(T)$ 中不存在负边,则由文献[6]可知 $\xi(\Sigma) = 1$ .

2)若 $\Sigma \setminus E(T)$ 中存在唯一负边,令 $e$ 为这条负边.

当 $u = v$ 时,存在 $\Sigma$ 中的生成树 $T$ ( $T$ 的边全为正),使得 $\Sigma \setminus E(T)$ 存在负边,且 $\Sigma \setminus E(T)$ 含有 $u, H = \{\Sigma \setminus E(T)\} \setminus \{e\}$ 连通,因为 $\beta(\Sigma) = 1(\text{mod}2)$ ,所以 $\beta(H) = 0(\text{mod}2)$ ,并且 $e$ 有如下3种情况:

① $e$ 连通 $H$ 中的2个点,由奇分支的定义可知 $\xi(H + e) = 0$ ,因此 $\xi(\Sigma) = 0$ ;

② $e$ 连通 $H$ 和 $H$ 外的某个点,由奇分支的定义可知 $\xi(H + e) = 0$ ,因此 $\xi(\Sigma) = 0$ ;

③ $e$ 连通 $H$ 外的某两个点,由奇分支的定义可得 $\xi(\Sigma) = 0$ .

因此,当 $\Sigma \setminus E(T)$ 中存在一条负边,并且 $\Sigma \setminus E(T)$ 除去负边后存在唯一的分支,则 $\xi(\Sigma) = 0$ .

当 $u \neq v$ 时,同理可得 $\xi(\Sigma) = 0$ .

3)若 $\Sigma \setminus E(T)$ 不止一条负边时,相似的,存在 $\Sigma$ 中的生成树 $T$ ( $T$ 的边全为正),使得 $\Sigma \setminus E(T)$ 除去负边后存在唯一的分支,且 $\xi(\Sigma) = 0$ .

在 $\Delta_3$ -符号图中,因为图 $\Sigma$ 直径为3,所以在 $\Sigma_1, \Sigma_2$ 和 $\Sigma_3$ 这3个简单的符号图中至少有1个图中 $u_i = v_i$ .那么由定理9和参考文献[6]得到下面引理.

引理2 令 $\Sigma = \Delta_2$ -符号图(或 $\Sigma = \Delta_3$ -符号图).若 $\Sigma$ 与 $\Delta_2$ -图(或 $\Delta_3$ -图)扭转等价,则 $\xi(\Sigma) = 2$ ;否则 $\xi(\Sigma) \leq 1$ .

证 1)设 $\Sigma$ 是 $\Delta_2$ -符号图,如图1所示和 $\Delta_2$ -符号图的定义,边 $u_1u_2$ 符号是任意的,如果是负边,则可以通过扭转,使 $\Sigma \sim \Sigma'$ ,并且 $\Sigma'$ 中 $u_1u_2$ 为正边.

当 $\Sigma'$ 是 $\Delta_2$ -图时,由文献[6]得 $\xi(\Sigma') = 2$ ,即 $\xi(\Sigma) = 2$ .

当 $\Sigma'$ 不是 $\Delta_2$ -图时,设 $\Sigma' = F'_1 \cup F'_2 \cup \{u_1u_2\}$ ,则至少存在1个 $F'_i$ 中有负边,由引理1可得至少存在1个 $\xi(F'_i) = 0$ ,又因为 $\beta(\Sigma) = 1(\text{mod}2)$ ,那么容易得到 $\xi(\Sigma') \leq 1$ ,即 $\xi(\Sigma) \leq 1$ .

2)当 $\Sigma = \Delta_3$ -符号图时(图2),根据 $\Delta_3$ -符号图的定义,边 $u_1u_2, v_2v_3$ 和 $v_1u_3$ 符号是不确定的.若边 $u_1u_2, v_2v_3$ 和 $v_1u_3$ 中至少有一条边的符号为负,则通过扭转可得到 $\Sigma \sim \Sigma'$ ,其中 $\Sigma'$ 中 $u_1u_2, v_2v_3$ 和 $v_1u_3$ 都为正边.

当 $\Sigma'$ 是 $\Delta_3$ -图时,由文献[3]得 $\xi(\Sigma') = 2$ ,即 $\xi(\Sigma) = 2$ .

当 $\Sigma'$ 不是 $\Delta_3$ -图时,设 $\Sigma' = \Sigma'_1 \cup \Sigma'_2 \cup \Sigma'_3 \cup \{u_1u_2, v_2v_3, v_1u_3\}$ ,则至少存在1个 $\Sigma'_i$ 中有负边,由引理1可得至少存在1个 $\xi(\Sigma'_i) = 0$ ,不妨设 $\xi(\Sigma'_1) = 0$ ,通过 $\Delta_3$ -符号图的定义和引理1,存在 $\Sigma'_i$ 的生成树 $T'_i$ 使得 $\Sigma'_i \setminus T'_i$ 包含 $u_i$ ,且 $\xi(\Sigma'_1) = 0, \xi(\Sigma'_2) \leq 1$ 和 $\xi(\Sigma'_3) \leq 1$ ,那么选择图 $\Sigma'$ 的树 $T' = T'_1 \cup T'_2 \cup T'_3 \cup \{v_1u_3, u_2v_3\}$ ,我们容易得到 $\xi(\Sigma', T') \leq 1$ ,因此 $\xi(\Sigma') \leq \xi(\Sigma', T') \leq 1$ ,即 $\xi(\Sigma) \leq 1$ .

### 3 结论

由符号图和非符号图的Betti亏数的定义,以及上面的定理可知:

推论1 设 $\Sigma = (G, \sigma)$ 为符号图,则图 $\Sigma$ 的Betti亏数小于等于图 $G$ 的Betti亏数,即 $\xi(\Sigma) \leq \xi(G)$ .

证 设 $\Sigma = (G, \sigma), \forall A \subseteq E(G)$ ,根据本质分支的定义,易知Betti数为奇数的连通分支不一定是本质的,故成立 $ec(\Sigma \setminus A) \leq b(G \setminus A)$ .于是,结合定理2和定理8,  $\forall A \subseteq E(G), \xi(\Sigma) \leq \xi(G)$ .

定理9 直径为2的连通符号图 $\Sigma$ 是上可嵌入的,即 $\xi(\Sigma) \leq 1$ .

证 令 $\Sigma = (G, \sigma)$ ,则图 $G$ 为直径为2.根据定理4,  $\xi(G) \leq 1$ .于是,结合推论1,得到 $\xi(\Sigma) \leq \xi(G) \leq 1$ ,故图 $\Sigma$ 是上可嵌入的.

定理10 令连通符号图 $\Sigma = (G, \sigma)$ 的直径为3.

1) 若  $\Sigma \neq \Delta_2$ -符号图(或  $\Sigma \neq \Delta_3$ -符号图), 则  $\Sigma$  是上可嵌入的, 即  $\xi(\Sigma) \leq 1$ ;

2) 若  $\Sigma = \Delta_2$ -符号图(或  $\Sigma = \Delta_3$ -符号图), 且图  $\Sigma$  扭转等价于  $\Delta_2$ -图(或  $\Delta_3$ -图), 则  $\Sigma$  的 Betti 亏数  $\xi(\Sigma) = 2$ , 否则  $\xi(\Sigma) \leq 1$ .

证 令  $\Sigma = (G, \sigma)$ , 显然,  $G$  的直径为 3.

1) 若  $G \neq \Delta_2$ -图(或  $G \neq \Delta_3$ -图), 根据定理 5, 则图  $G$  是上可嵌入的, 即  $\xi(G) \leq 1$ . 结合推论 1,  $\xi(\Sigma) \leq \xi(G) \leq 1$ , 即图  $\Sigma$  是上可嵌入的,  $\xi(\Sigma) \leq 1$ .

2) 若  $G = \Delta_2$ -图(或  $G = \Delta_3$ -图), 那么图  $\Sigma$  为  $\Delta_2$ -符号图或  $\Delta_3$ -符号图. 根据引理 2 可知, 若图  $\Sigma$  扭转等价  $\Delta_2$ -图或  $\Delta_3$ -图, 则图  $\Sigma$  的 Betti 亏数  $\xi(\Sigma) = 2$ , 否则  $\xi(\Sigma) \leq 1$ . 证毕.

#### 参考文献:

- [1] Xuong N H. Upper-embeddable graphs and related topics[J]. Journal of Combinatorial Theory, Series B, 1979, 26(2): 226-232.
- [2] Nebesky L. A new characterization of the maximum genus of a graph[J]. Czechoslovak Mathematical Journal, 1981, 31(4): 604-613.
- [3] Huang Y, Liu Y. The maximum genus of graphs with diameter three[J]. Discrete mathematics, 1999, 194(1/3): 139-149.
- [4] Škoviera M. The maximum genus of graphs of diameter two[J]. Discrete Mathematics, 1991, 87(2): 175-180.
- [5] Širáň J, Škoviera M. Characterization of the maximum genus of a signed graph[J]. Journal of Combinatorial Theory, Series B, 1991, 52(1): 124-146.
- [6] Jungerman M. A characterization of upper-embeddable graphs[J]. Transactions of the American Mathematical Society, 1978, 241: 401-406.
- [7] Xuong N H. How to determine the maximum genus of a graph[J]. Journal of Combinatorial Theory, Series B, 1979, 26(2): 217-225.
- [8] Stahl S. Generalized embedding schemes[J]. Journal of Graph Theory, 1978, 2(1): 41-52.
- [9] Lv S, Liu Y. Up-embeddability of graphs with small order[J]. Applied Mathematics Letters, 2010, 23(3): 267-271.
- [10] Lv S, Liu Y. Up-embeddability of graphs with new degree-sum[J]. Acta Mathematicae Applicatae Sinica, English Series, 2017, 33(1): 169-174.